

ОБЪЕДИНЕННЫЙ ИНСТИТУТ ЯДЕРНЫХ ИССЛЕДОВАНИЙ

ПЗУ

1-88-372

УДК 539.172.5

ПИСАРЕВ
Игорь Львович

ИССЛЕДОВАНИЯ ПОЛУКОГЕРЕНТНОГО
УПРУГОГО РАССЕЯНИЯ π^- -МЕЗОНОВ
С ИМПУЛЬСАМИ 25 И 40 ГэВ/с НА УГЛЕРОДЕ
И ВЗАИМОДЕЙСТВИЙ π^- -МЕЗОНОВ
С ИМПУЛЬСОМ 40 ГэВ/с С ЯДРАМИ С, Си, РЬ
С ИСПУСКАНИЕМ ПРОТОНОВ В ЗАДНЮЮ ПОЛУСФЕРУ,
ВЫПОЛНЕННЫЕ НА МИС ОИЯИ

Специальность: 01.04.16 - физика атомного ядра
и элементарных частиц

Автореферат диссертации на соискание ученой степени
кандидата физико-математических наук

Работа выполнена в Лаборатории ядерных проблем
Объединенного института ядерных исследований.

Научный руководитель:
кандидат физико-математических
наук

Официальные оппоненты:
доктор физико-математических наук

кандидат физико-математических
наук

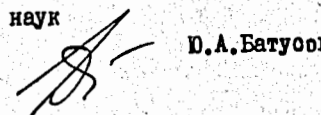
Ведущее научно-исследовательское учреждение:
Институт физики высоких энергий, г.Серпухов.

Защита диссертации состоится " " 1988 г.
в _____ часов на заседании специализированного Совета
Д-047.01.03 при Лаборатории ядерных проблем Объединенного
института ядерных исследований, Дубна, Московской области.

С диссертацией можно ознакомиться в библиотеке ОИЯИ.

Автореферат разослан " " 1988 г.

Ученый секретарь специализированного Совета
доктор физико-математических наук


D.A. Батулов

ОБЩАЯ ХАРАКТЕРИСТИКА РАБОТЫ

Актуальность проблемы. Изучение взаимодействий адронов с ядрами представляет большой интерес с точки зрения исследования фундаментальных закономерностей, связанных с локальными свойствами адронной материи. Адрон-ядерные взаимодействия дают дополнительную информацию о сильном взаимодействии адронов, которую нельзя получить при изучении только адрон-адронных взаимодействий.

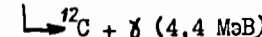
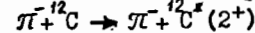
Большой интерес представляет получение новых экспериментальных данных по образованию кумулятивных протонов, особенно при импульсах падающих частиц в несколько десятков ГэВ/с, где имеется сравнительно мало данных. Получение новой экспериментальной информации необходимо для изучения пространственно-временной картины взаимодействия, а также коллективного поведения нуклонов в ядре.

Исследование полукогерентных взаимодействий адронов с ядрами представляет интерес, связанный с возможностью регистрации гамма-излучения возбужденных ядер, что позволяет выделить события с определенным конечным состоянием ядра. Изучение полукогерентных упругих взаимодействий дает экспериментальную информацию, необходимую для проверки моделей дифракции на нуклонах.

Диссертация посвящена экспериментальному изучению полукогерентного упругого рассеяния пионов на углероде и образованию кумулятивных протонов в пион-ядерных соударениях при высоких энергиях.

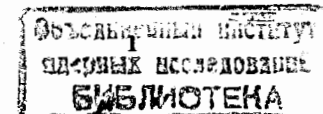
Работа выполнена на ускорителе ИФВЭ в г.Серпухове с помощью магнитного искрового спектрометра МИС ОИЯИ.

Цель работы – экспериментальное исследование полукогерентного упругого рассеяния пионов с импульсами 25 и 40 ГэВ/с в реакции



и исследование инклузивной реакции $\pi^+ + A \rightarrow p + X$, где A (C,Cu,Pb), при импульсах пионов 40 ГэВ/с.

Научная новизна. Новыми результатами, представленными в данной работе, являются экспериментально полученные данные для реакции полукогерентного упругого рассеяния пионов на углероде; интегральные сечения при импульсах 25 и 40 ГэВ/с; дифференциальные сечения при им-



пульсе 40 ГэВ/с. Приведенные в диссертации данные до сих пор являются единственными в области импульсов выше 10 ГэВ/с.

Впервые получены экспериментальные данные по образованию кумулятивных протонов в πA - взаимодействиях при импульсе пионов 40 ГэВ/с на разных ядерных мишениях. Получены инвариантные сечения, а также информация об угловой и A-зависимости сечений образования кумулятивных протонов.

Практическая ценность. Экспериментальные результаты, представленные в диссертации, инициировали ряд теоретических исследований, а также использовались при проектировании экспериментов и анализе результатов других экспериментальных групп.

Разработанная система программного обеспечения для измерения снимков на автоматическом устройстве АЭЛТ - 2/160 находится в эксплуатации и используется для измерения снимков с информацией, полученной при изучении других физических процессов.

Автор защищает:

1. Разработку конкретных схем постановки экспериментов для исследования полукогерентного упругого рассеяния пионов на углероде и взаимодействий пионов с ядрами с вылетом протонов в заднюю полусферу л.с.к.

2. Создание программного обеспечения системы сканирования информации с фотоснимков на автоматическом устройстве АЭЛТ - 2/160 с контролем качества и точности измерений, а также математической системы обработки данных.

3. Результаты исследований полукогерентного упругого рассеяния пионов на углероде, в частности, интегральные сечения при импульсе π^- -мезонов 25 и 40 ГэВ/с и дифференциальные сечения при импульсе 40 ГэВ/с.

4. Инвариантные сечения вылета протонов на углы 120-160° л.с.к. при взаимодействии π^- -мезонов с импульсом 40 ГэВ/с с ядрами меди и свинца, результаты по A-зависимости инвариантных сечений, результаты анализа данных на основе файербольной модели кумулятивного эффекта барионов.

Апробация результатов и публикации. Результаты исследований, обобщенные в диссертации, докладывались на научных семинарах Лаборатории ядерных проблем ОИИИ, Международном семинаре по развитию физики высоких энергий (Кампьоне, Италия - 1977 г.), Международной конференции по физике высоких энергий и структуре ядра (Цюрих - 1977 г.), XIX

Международной конференции по физике высоких энергий (Токио - 1978 г.), сессии отделения ядерной физики АН СССР (Москва - 1978 г.), Международном симпозиуме по структуре адронов (Казимира - 1979 г.), Всесоюзной конференции "Автоматизация научных исследований на основе применения ЭВМ" (Новосибирск - 1979 г.), Всесоюзной конференции по планированию и автоматизации экспериментов в научных исследованиях (Москва - 1980 г.), XXII Международной конференции по физике высоких энергий (Лейпциг - 1984 г.). Материалы диссертации отражены в 12 научных работах. В основу диссертации положено 6 публикаций.

Структура и объем диссертации. Диссертация состоит из введения, четырех глав и заключения. Содержит 107 страниц машинописного текста, включая 36 рисунков.

СОДЕРЖАНИЕ РАБОТЫ

Во введении обоснована актуальность темы, сформулированы цели и задачи исследований, перечислены основные результаты, вынесенные на защиту.

В первой главе представлен обзор теоретических и экспериментальных работ, посвященных полукогерентным процессам и образованию кумулятивных протонов.

Глава состоит из двух частей.

В первой части дано определение полукогерентных процессов, особенности их изучения при высоких энергиях. Рассматривается кинематика полукогерентного упругого рассеяния пионов на углероде, показано, что квадрат переданного 4-импульса равен $t = (P \cdot \theta)^2$, где P - импульс π^- -мезона, θ - угол вылета рассеянного π^- -мезона относительно падающего. Рассмотрен вопрос анизотропности углового распределения вторичных γ -квантов. Обсуждаются схемы экспериментальных установок, отмечается, что в экспериментах по изучению полукогерентных процессов используется метод адрон-гамма совпадений. Сделан обзор экспериментальных данных, отмечается, что данные имелись при импульсах налетающих частиц меньше 10 ГэВ/с. Приведены теоретические модели, которые используются при описании полукогерентных процессов, отмечается расхождение теоретических полных сечений некоторых моделей с экспериментально измеренными. Отмечается необходимость получения новых экспериментальных данных при энергиях больше 10 ГэВ.

Вторая часть главы посвящена кумулятивным процессам. В ней дается определение кумулятивного эффекта - появление вторичных частиц в кинематической области, запрещенной при взаимодействии адрона со свобод-

ным нуклоном. Обсуждаются различные методы экспериментального изучения кумулятивных процессов (электронная и камерная методика). Описаны основные положения гипотез масштабной инвариантности поведения спектров кумулятивных частиц (Балдин А.М. 1971г.) и ядерного скейлинга для кумулятивных барионов (Лексин Г.А. и др. 1973г.). Приведены основные положения файербольной модели кумулятивного эффекта для барионов. Отмечается необходимость получения новой экспериментальной информации при энергиях в несколько десятков ГэВ.

Вторая глава посвящена постановке экспериментов на установке МИС ОИЯИ и методике обработки фильменной информации.

Описаны основные узлы экспериментальной установки МИС ОИЯИ: система транспортировки и мониторирования пучка; магнитный искровой спектрометр; система счетчиков для выделения событий определенного вида.

Схема установки для исследования реакции полукогерентного упругого рассеяния π -мезонов на ядре ^{12}C приведена на рис.1.

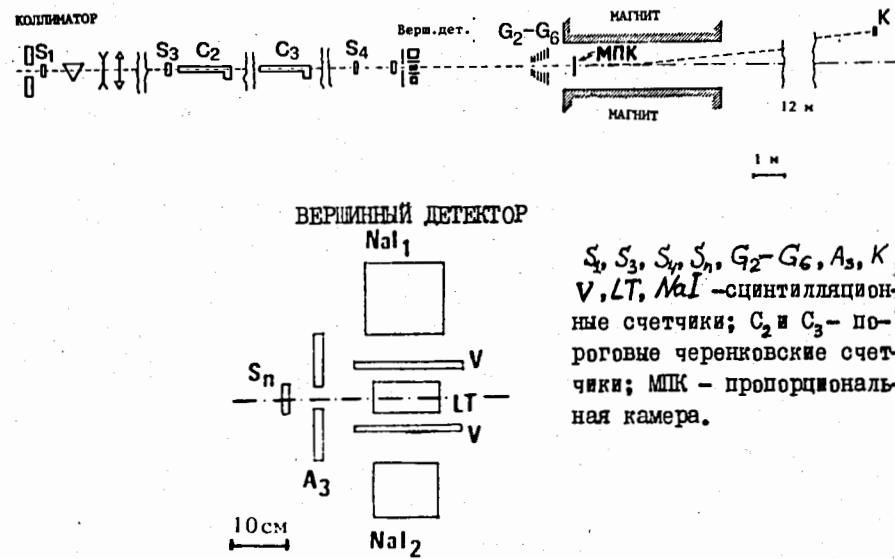


Рис.1. Схема экспериментальной установки для изучения реакции:
 $\pi^- + ^{12}\text{C} \rightarrow \pi^- + ^{12}\text{C} + \gamma (4,4 \text{ MeV})$.

В качестве мишени LT использовался сцинтилляционный счетчик на основе полистирола (50% C, 50% H). Поперечные размеры мишени $5 \times 5 \text{ см}^2$, длина

10 см. Вокруг мишени располагалась охранная система из трех счетчиков, которые запрещали регистрацию событий с попаданием заряженных частиц в счетчики гамма-квантов.

Два счетчика (на основе $\text{NaI}(\text{TL})$ кристаллов) детектировали гамма-кванты, возникающие при взаимодействии пучковой частицы в мишени. Счетчики располагались с двух сторон от мишени, так что оси кристаллов NaI были перпендикулярны оси мишени в горизонтальной плоскости. В течение набора данных проводилась калибровка счетчиков NaI с помощью источника ^{60}Co ($1,17 \text{ MeV}$, $1,32 \text{ MeV}$).

Пропорциональная камера МПК ($60 \times 60 \text{ см}^2$) запрещала регистрацию событий с множественностью заряженных частиц больше единицы.

Набор данных проводился с триггером:
 $T = S_1 \cdot S_3 \cdot S_4 \cdot S_2 \cdot S_3 \cdot S_5 \cdot \bar{A}_1 \cdot \bar{F}_2 \cdot \text{LT} \cdot \text{VW}_{2-6} \cdot \text{MW}(X > 2 \text{ или } Y > 2)(\text{NaI}_1 \text{ или } \text{NaI}_2)$,

где MW - логический сигнал с МПК.

Схема эксперимента для регистрации частиц, вылетающих в заднюю полусферу л.с.к., представлена на рис.2.

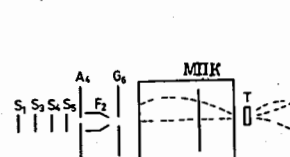


Рис.2. Схема опыта для изучения реакции
 $\pi^- + A \rightarrow P + X$.

$S_1, S_3, S_4, S_5, A_4, F_2, G_6, K$ - сцинтилляционные счетчики; МПК - пропорциональная камера; Т - мишень; пунктирные линии показывают треки в искровых камерах.

Пучок отрицательных пионов с импульсом 40 ГэВ/с, выделенный системой сцинтилляционных счетчиков $S_1 \cdot S_3 \cdot S_4 \cdot \bar{A}_1 \cdot \bar{F}_2$, падал на мишень. Мишень помещалась внутрь спектрометра после первых 10 искровых камер. Такое размещение мишени позволяло с большой эффективностью восстанавливать вершину взаимодействия, а также обеспечить высокую эффективность регистрации вторичных частиц. Использовались мишени из углерода 20 мм, меди 2мм и свинца 1 и 2 мм.

Для отбора событий с вылетом заряженных частиц в заднюю полусферу л.с. использовался сцинтилляционный счетчик G_6 , который был расположен на расстоянии 130 см перед мишенью и имел размеры $60 \times 50 \text{ см}$. При величине магнитного поля спектрометра $H=1,8 \text{ Тл}$ регистрировались заряженные частицы с импульсом, большим 280 МэВ/с в интервале углов $120^\circ - 160^\circ$. Триггер вырабатывался при прохождении через пропорциональную камеру не менее двух частиц, причем одна из них должна была пройти в центральной области камеры В. Триггер имел вид:

$$T = S_1 \cdot S_3 \cdot S_4 \cdot S_5 \cdot \bar{A}_4 \cdot \bar{F}_2 \cdot \text{B} \cdot \text{MW}(X > 2 \text{ или } Y > 2) \cdot G_6 \cdot \bar{K}$$

Фильмовый материал, полученный при изучении процесса образования кумулятивных частиц, был измерен на автоматическом устройстве на

электронно-лучевой трубке АЭЛТ-2/160. Снимки перед обработкой на АЭЛТ-2/160 просматривались на просмотро-измерительных столах. При просмотре проводилось установление соответствия треков вторичных частиц на двух стереокадрах по определенным критериям (кривизне трека, количеству искр на треке, толщине и изломам искр на треке и т.д.), оформлялись схематические рисунки событий. При сканировании снимков на АЭЛТ-2 определялись центры реперных меток и информация о треках. На рис.3 приведены результаты сканирования фильма с вылетом частиц в заднюю полусферу на АЭЛТ-2/160. На рисунке видны отсчеты, соответствующие искрам в камере (4 - 8 отсчетов на искру).

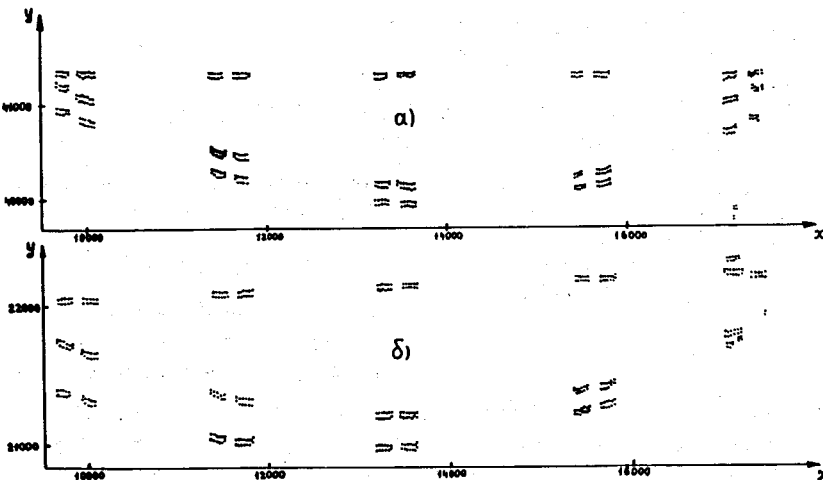


Рис.3. Треклучевое событие с вылетом заряженных частиц в заднюю полусферу. Сканирование проведено на АЭЛТ-2/160, по осям отложены единицы измерения АЭЛТ-2/160, а) и б) - первая и вторая проекции.

Результаты обработки фильма на АЭЛТ-2 записывались на магнитную ленту, передавались по линии связи в ЭВМ СДС-6500. В специальной программе осуществлялась фильтрация данных сканирования, проводилось построение треков на отдельных проекциях, определялись элементы треков (искры), корректировались результаты на основе калибровочных данных, проводился контроль данных и формирование выходной информации для дальнейшей обработки.

Автомат АЭЛТ-2/160 обеспечивает точность, которая не уступает точности, достигаемой при использовании известных прецизионных измерительных устройств. Эффективность работы измерительной системы, по-

строенной на основе автомата АЭЛТ-2/160, в условиях 2-кратного повторения измерений оценивается как равная 90-95%.

Третья глава посвящена исследованию образования кумулятивных протонов в π^- -соударениях при импульсе π^- -мезонов 40 ГэВ/с.

Большинство экспериментальных данных по кумулятивному образованию частиц представляется в виде зависимости инвариантного сечения от кинетической энергии (или квадрата импульса) и угла вылета вторичных частиц.

Для построения инвариантных инклузивных сечений образования кумулятивных протонов проводился отбор событий, прошедших геометрическую реконструкцию. Отбирались события с учетом вероятности нахождения вершины взаимодействия и положения вершины в пространстве. Из отобранных событий выбирались треки, для которых $\Delta p/p \leq 3\%$, и выполнялось условие прохождения трека через счетчик G_6 . Таким образом, после отбора по вышеуказанным критериям имелся следующий статистический материал.

Таблица I

мишень	положит.	стриц.
C -20мм	4I3	74
Cи -2мм	I69I	92
Pб -1мм	II66	22
Pб -2мм	I802	51

Спектры импульсов протонов получены путем вычитания спектров импульсов отрицательных частиц из спектров импульсов положительных частиц в предположении, что спектры импульсов пинонов обоих знаков близки, а отрицательные частицы в основном π^- -мезоны. С учетом геометрической эффективности регистрации вторичных частиц и ионизационных потерь в мишени вторичных частиц из спектров импульсов протонов были построены инвариантные сечения (структурные функции):

$$F(p^2, \theta) = \frac{E \cdot d\Omega}{p \cdot dp \cdot d\Omega}, \text{ где } E, p, \theta - \text{ соответственно полная энергия, импульс и угол протона в л.с.}$$

На рис.4 приведены значения структурных функций, нормированных на σ_{ab} , для ядер C, Cи, Pб для интервала углов $120^\circ \div 160^\circ$, σ_{ab} - сечение поглощения π^- -мезонов ядрами при импульсе $p_\pi = 40$ ГэВ/с (Аллаби Д.В. и др. ЯФ, 1970, т.12, вып.3, с.538-556). В исследуемом угловом интервале структурные функции были параметризованы в виде:

$$\frac{1}{\sigma_{ab}} F(p^2) = C \cdot \exp(-B \cdot p^2).$$

Таблица 2

ядро	$C(\text{ГэВ}^{-2} \cdot \text{ср}^{-1})$	$B(\text{ГэВ}/\text{с})^2$
C	$0,77 \pm 0,12$	$10,02 \pm 0,49$
Cи	$2,61 \pm 0,15$	$9,42 \pm 0,19$
Pб	$7,12 \pm 0,49$	$9,30 \pm 0,15$

В таблице 2 приведены значения коэффициентов C и параметров наклона B. Можно сделать вывод о том, что изменения значений параметров наклона B в зависимости от атомного номера не превышают 7%.

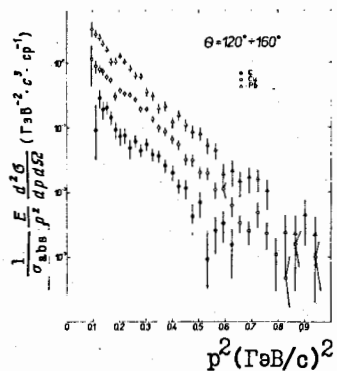


Рис.4. Инвариантные сечения, нормированные на инвариантное сечение на С.

На рис.5 показана зависимость величины $R(A) = [F(A)/A]/[F(C)/A_0]$ от атомного номера ядра мишени для интервала углов $120 \pm 160^\circ$ и импульсов протонов $0,57 \text{ GeV}/c$. Для сравнения на этом же рисунке приведены результаты работы (Баукиков Ю.Д. et al. Phys.Rev.C, 1979, v.20, p.764) для угла 137° и $P_p=0,58 \text{ GeV}/c$. Сравнение результатов показывает, что зависимость величины $F(A)/A$ одинакова для налетающих π^- -мезонов и протонов. В диссертации также показано, что зависимость $F(A)/A$ не меняется при изменении импульсов первичных π^- -мезонов от 5 до $40 \text{ GeV}/c$.

В исследуемом угловом интервале вылета вторичных протонов $120 \pm 160^\circ$ инвариантные сечения были параметризованы в виде

$$F(p, \theta) \sim \exp\left(-\frac{E - p \cos \theta}{T \sqrt{1 - \beta^2}}\right),$$

где E, p, θ – энергия, импульс и угол вылета вторичной частицы; T и β – параметры, следующие из фейербельской модели кумулятивного эффекта для баронов. В таблице 3 представлены значения параметров, полученные

Таблица 3

ядро	β	$T (\text{MeV})$
C	$0,17 \pm 0,12$	$58,9 \pm 12,6$
Cu	$0,15 \pm 0,06$	$63,3 \pm 6,4$
Pb	$0,16 \pm 0,07$	$66,9 \pm 8,3$

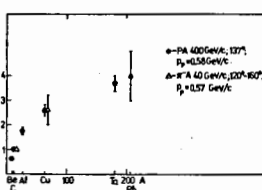


Рис.5. Зависимость инвариантных сечений, нормированных на нуклон, от атомного номера ядра мишени для интервала углов $120 \pm 160^\circ$. Инвариантные сечения нормированы на инвариантное сечение на С.

Четвертая глава посвящена изучению полукогерентного упругого пион-углеродного рассеяния при импульсах 25 и $40 \text{ GeV}/c$.

Анализ данных был проведен на статистике 35000 полукогерентных триггеров, соответствующих $1,13 \times 10^8$ падающих на мишень π^- -мезонов с импульсом $40 \text{ GeV}/c$, и 10000 событий, соответствующих $2,33 \times 10^7$ падающих π^- -мезонов с импульсом $25 \text{ GeV}/c$.

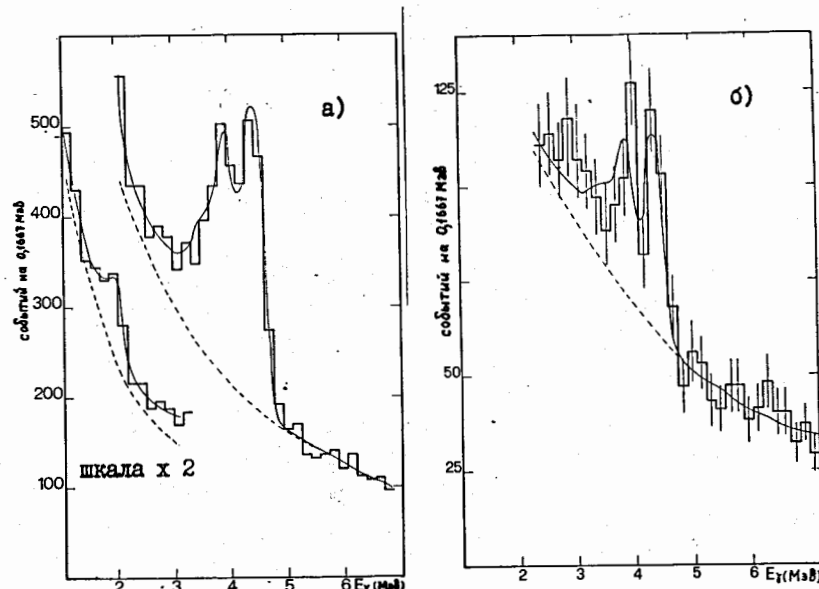


Рис.6. Амплитудный спектр с NaI – детектором, полученный при использовании полукогерентного триггера; а) импульс $\pi^- 40 \text{ GeV}/c$, б) импульс $\pi^- 25 \text{ GeV}/c$. Непрерывная линия – результат фильтрования; пунктирная линия – фон, полученный при фильтровании.

На рис.6 приведены амплитудные спектры с NaI детектора для π^- с импульсами 25 и $40 \text{ GeV}/c$. Для увеличения доли полезных событий использовалась информация об энергетических потерях частиц в полистироловой мишени ΔT .

Для анализа амплитудных спектров, полученных с NaI детекторами, было проведено моделирование спектров γ -квантов в $\text{NaI}(Tl)$ кристаллах, которое проводилось с помощью адаптированной программы ГАММА (Belluscio M. et al., Nucl.Instr., 118, p.553, 1974). Полученные энергетические распределения и полиномиальный фон использовались для опи-

сания экспериментальных данных методом минимизации χ^2 . Эта процедура была проделана для спектров с NaI, полученных при 40 ГэВ/с и 25 ГэВ/с с учетом информации с мишени-детектора LT и без ее учета.

Для определения интегральных сечений полукогерентного упругого пион-углеродного рассеяния использовались следующие коррекции: конверсионная эффективность регистрации γ -квантов NaI детектором; геометрическая эффективность регистрации γ -квантов; двойные взаимодействия в мишени; поглощение δ -квантов в мишени и системе охранных счетчиков.

Проведена оценка вклада в амплитудный спектр NaI детектора δ -квантов от возбуждения ядер ^{12}C и ^{14}N .

Определенные в результате фитирования полукогерентные упругие события с возбуждением уровня 4,4 МэВ с учетом поправок были пересчитаны в интегральные сечения. Получены интегральные сечения:

$\sigma = 1,19 \pm 0,12$ мб при импульсе π -мезонов 40 ГэВ/с,
в области $t = [(0,0032 \pm 0,0013) + (0,27 \pm 0,032)] (\text{ГэВ/с})^2$;

$\sigma = 0,8 \pm 0,25$ мб при импульсе π -мезонов 25 ГэВ/с,
в области $t = [(0,0013 \pm 0,0006) + (0,10 \pm 0,02)] (\text{ГэВ/с})^2$.

Для определения дифференциальных сечений было получено 15000 стереофотографий при импульсе π -мезонов 40 ГэВ/с. На рис. 7 приведено распределение $d\sigma/dt$ для 760 отобранных полукогерентных событий.

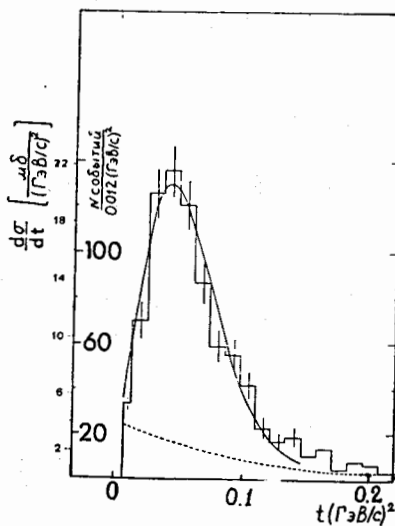


Рис.7. Дифференциальное сечение $d\sigma/dt$ возбуждения ядра ^{12}C в состояние 2^+ (4,4 МэВ) при импульсе 40 ГэВ/с.

Экспериментальные дифференциальные сечения были сравнены с теоретическими вычислениями, основанными на теории Глаубера (Berger L. and Thompson C., Nucl. Phys. C, 45A, p.238, 1978). На рис.7 экспериментальное распределение $d\sigma/dt$ представлено с теоретической кривой и экспоненциальным фоном (порядка 150 событий). Можно отметить хорошее согласие теоретических дифференциальных и интегральных сечений с представленными в диссертации экспериментальными.

В заключении сформулированы основные результаты диссертации:

I. Разработана постановка экспериментов по исследованию полукогерентного упругого рассеяния π -мезонов на углероде и исследование инклюзивной реакции $\pi + A \rightarrow p + X$ на магнитном искровом спектрометре.

2. Разработана система измерений фильмовой информации на автоматическом устройстве АЭЛТ-2/160 с контролем качества и точности измерений. С помощью этой системы обработано ≈ 15000 событий с вылетом частиц в заднюю полусферу л.с.к.

3. Для полукогерентного упругого рассеяния на углероде впервые получены:

- а) интегральные сечения при импульсе π -мезонов 25 и 40 ГэВ/с,
- б) дифференциальные сечения при импульсе π -мезонов 40 ГэВ/с.

Проведено сравнение экспериментальных данных с теоретическими расчетами, выполненными в рамках модели Глаубера. Получено хорошее согласие экспериментально определенных полных и дифференциальных сечений с теоретически рассчитанными.

4. Определены инвариантные сечения вылета протонов в заднюю полусферу при взаимодействии π -мезонов с импульсом 40 ГэВ/с с ядрами углерода, меди и свинца; основными результатами этих исследований являются:

а) параметр В в параметризации инвариантных сечений в виде $F(p^2) = C \cdot \exp(-B \cdot p^2)$, где p – импульс протона, слабо зависит от атомного номера мишени; параметр В зависит от угла вылета протонов и возрастает с увеличением угла;

б) A-зависимость нормированных на нуклон инвариантных сечений в исследованной реакции и в реакции $p + A \rightarrow p + X$ близки; A-зависимость инвариантных сечений в исследованной реакции слабо меняется в интервале импульсов от 5 до 40 ГэВ/с;

в) определены параметры файербольной модели барионного кумулятивного эффекта; найденные значения параметров в пределах ошибок не зависят от атомного номера мишени и согласуются с параметрами, полученными при других энергиях.

Основные результаты диссертации опубликованы в следующих работах:

- 1.Bettinazzi T.,Frabetti P.L.,Manfredi P.F.,Micheletti S.,Pisarev I.,
Ragusa F.,Vegni G.,Vishniakov V., π carbon semicoherent elastic cross-section at 40 GeV/c.,Proc.Triangle Seminar on Recent developments in high-energy physics,Campione d'Italia,1977.
- 2.Frabetti P.L.,Bellini G.,Bettinazzi T.,Di Corato M.,Meroni E.,Micheletti S.,Palombo F.,Ragusa F.,Rancoita P.G.,Vegni G.,Chernenko L.,Ivanshin Yu.,Pisarev I.,Sychkov S.,Tjapkin A.,Vishniakov V.,Zaimidoroga O.,Manfredi P.F.,Nucl.Phys.,B 158,p.57,1979.
- 3.Frabetti P.L.,Albini E.,Bettinazzi T.,D Angelo P.,Di Corato M.,Meroni C.,Meroni E.,Palombo F.,Ragusa F.,Sala A.,Sala S.,Vegni G.,Chernenko L.,Ivanshin Yu.,Litkin L.,Pisarev I.,Sychkov S.,Tjapkin A.,Vishniakov V.,Zaimidoroga O.,Analysis of the angular distribution in the pion-carbon elastic semi-coherent scattering at 40 GeV/c.,Lett.Nuov.Cim.,v.28,N3,p.89,1980.
- 4.Байла И.,Баранчук М.К.,Барашенкова Н.В.,Вишняков В.В.,Займидорога О.А.,Карлов А.А.,Кучугурная Л.Д.,Лапчик Э.Д.,Лыткин Л.К.,Мещеряков М.Г.,Наумов Б.П.,Писарев И.Л.,Тутышкина Л.В.,Шкунденков В.Н. Система обработки снимков с установки МИС на сканирующем автомате АЭЛТ-2/І60, ОИИ, РІО-80-430, Дубна, 1980.
- 5.Вишняков В.В.,Писарев И.Л., Об угловой зависимости инвариантных сечений реакции $\pi A \rightarrow p_{\text{назад}} X$ при импульсе пиона 40 ГэВ/с, ОИИ, РІ-85-221, Дубна, 1985.
- 6.Альбина Е.,Антипов В.В.,Беллини Д.,Василевский И.М.,Виттоне М.,Вишняков В.В.,Гальперин А.Г.,Ди Корато М.,Займидорога О.А.,Кропина О.А.,Лыткин Л.К.,Моисеенко В.А.,Паломбо Ф.,Петров В.А.,Писарев И.Л.,Тяпкин А.А.,Фрабетти П.-Л.,Черненко Л.П. Исследование инклузивного процесса $\pi A \rightarrow p_{\text{назад}} X$ при импульсе 40 ГэВ/с, ЯФ, т.43, вып.4, стр.917, 1986.

Рукопись поступила в издательский отдел
27 мая 1988 года.